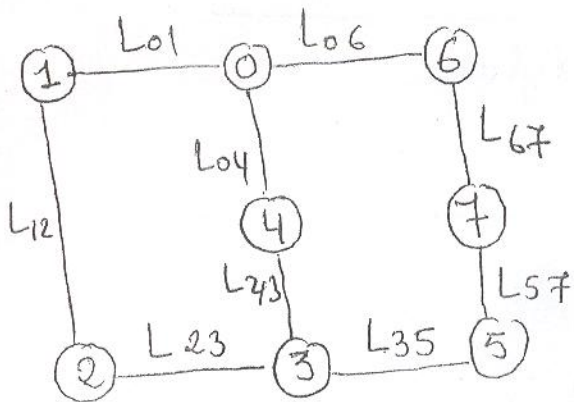


## B.1. Etude de l'excitateur



(1)

### B.1.1 Liaisons



$L_{01}$ : pivot d'axe  $(O, \vec{z}_0)$

$L_{06}$ : pivot d'axe  $(F, \vec{x}_0)$

$L_{67}$ : hélicoïdale d'axe  $(E, \vec{x}_0)$

$L_{57}$ : rotule de centre H

$L_{35}$ : pivot glissant d'axe  $(H, \vec{u}_2)$

$L_{34}$ : pivot d'axe  $(C, \vec{z}_1)$

$L_{04}$ : pivot d'axe  $(O, \vec{z}_0)$

$L_{23}$ : pivot glissant d'axe  $(O, \vec{x}_2)$

$L_{07}$ : glissière d'axe  $(K, \vec{x}_0)$ ;  $L_{12}$ : pivot d'axe  $(A, \vec{z}_0)$

### B.1.2 Vecteurs rotation

$$\vec{\omega}_{1/0} = \dot{\alpha} \vec{z}_0; \quad \vec{\omega}_{2/0} = -\dot{\theta} \vec{z}_0; \quad \vec{\omega}_{3/2} = \vec{0}$$

$$\vec{\omega}_{4/0} = \dot{\varphi} \vec{z}_0; \quad \vec{\omega}_{6/0} = \dot{\psi} \vec{x}_0; \quad \vec{\omega}_{7/0} = \vec{0}$$

### B.1.3 Torseur cinématique

$$\left\{ \mathcal{V}_{6/4} \right\}_E = \left\{ \vec{\omega}_{6/4} \mid \vec{v}_{E \in 6/4} \right\}$$

$$\vec{\omega}_{6/4} = \vec{\omega}_{6/0} + \vec{\omega}_{0/4} = \dot{\psi} \vec{x}_0$$

$$\vec{v}_{E \in 6/4} = \vec{v}_{E \in 6/0} - \vec{v}_{E \in 7/0} = \vec{0} - \dot{\psi} \vec{x}_0 = \frac{\dot{\psi}}{2\pi} P$$

### B.1.4 Vitesse de $E \in 7 \%$ (0)

$$\vec{v}_{E \in 7/0} = \left. \frac{d\vec{FE}}{dt} \right|_{R_0} = -\dot{\chi} \vec{x}_0$$

### B.1.5 Nombre de Tours

(2)

$$dx = \frac{P}{2\pi} d\varphi \Rightarrow d - x(0) = \frac{P}{2\pi} \varphi(d) = P \cdot N$$

$$N = 14 \text{ tours}$$

### B.1.6 Chaîne cinématique de réglage

$$0.6.7.5.3.4.0$$

### B.1.7 classe équivalente

$$x = \text{cte} \Rightarrow \ddot{x} = 0 \text{ et } \ddot{\varphi} = 0$$

cela conduit à :  $\vec{V}_{E \in 7/0} = \vec{0}$  et tous les points de 7

sont fixes par rapport à (0)

•  $\vec{R}_{6/0} = \vec{0}$  et tous les points de (6) sont fixes par rapport à (0)

### B.1.8 liaison équivalente

$$\left\{ \mathcal{V}_{3/5} \right\}_H = \left\{ \begin{array}{c|c} P_{35} & x_{35} \\ 0 & 0 \\ 0 & 0 \end{array} \right\} (\vec{x}_2, \vec{y}_2, \vec{z}_2)$$

$$\left\{ \mathcal{V}_{5/7} \right\}_H = \left\{ \begin{array}{c|c} P_{57} & 0 \\ q_{57} & 0 \\ r_{57} & 0 \end{array} \right\} (\vec{x}_2, \vec{y}_2, \vec{z}_2)$$

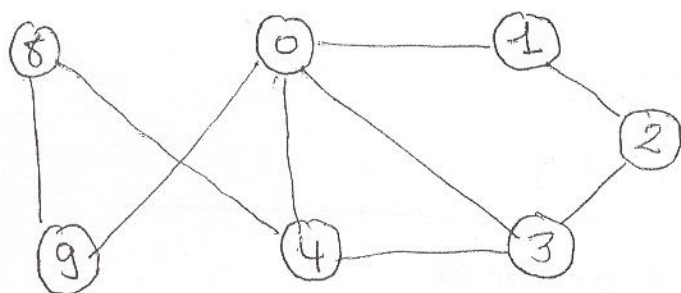
$$\left\{ \mathcal{V}_{7/0} \right\} = \left\{ \begin{array}{c|c} 0 & 0 \\ 0 & 0 \\ 0 & 0 \end{array} \right\}$$

$$\left\{ \mathcal{V}_{3/0} \right\}_H = \left\{ \mathcal{V}_{3/5} \right\}_H + \left\{ \mathcal{V}_{5/7} \right\}_H + \left\{ \mathcal{V}_{7/0} \right\}_H = \left\{ \begin{array}{c|c} P_{35} + P_{57} & x_{35} \\ q_{57} & 0 \\ r_{57} & 0 \end{array} \right\}$$

La liaison possède 4 degrés de liberté dans le système d'axe  $(H, \vec{x}_2, \vec{y}_2, \vec{z}_2)$  (3 rotations + 1 translation suivant  $(H, \vec{x}_2) \Rightarrow$  linéaire annulaire d'axe  $(H, \vec{x}_2)$



## B.1.9 graphe de liaison



## B.1.10 Fermeture de la chaîne 01230

$$\vec{OH} = \vec{OA} + \vec{AB} + \vec{BH}$$

$$(L_0 - d) \vec{x}_0 = r_1 \vec{x}_1 + (\lambda + \mu) \vec{x}_2$$

B.1.11 relation entre  $\alpha$  et  $\theta$ 

$$\vec{x}_1 = \cos \alpha \vec{x}_0 + \sin \alpha \vec{y}_0$$

$$\vec{x}_2 = \cos \theta \vec{x}_0 - \sin \theta \vec{y}_0$$

$$(L_0 - d) \vec{x}_0 = [r_1 \cos \alpha + (\lambda + \mu) \cos \theta] \vec{x}_0 + [r_1 \sin \alpha - (\lambda + \mu) \sin \theta] \vec{y}_0$$

$$\Rightarrow \begin{cases} L_0 - d = r_1 \cos \alpha + (\lambda + \mu) \cos \theta \\ 0 = r_1 \sin \alpha - (\lambda + \mu) \sin \theta \end{cases}$$

$$\Rightarrow \tan \theta = \frac{r_1 \sin \alpha}{L_0 - d - r_1 \cos \alpha}$$

## B.1.12 Fermeture de la chaîne 0340

$$\vec{HD} = \vec{HC} + \vec{CD}$$

$$d \vec{x}_0 = (L_3 - \mu) \vec{x}_2 + r_4 \vec{x}_4$$

B.1.13 relation entre  $\varphi$  et  $\theta$ 

$$d = (L_3 - \mu) \cos \theta + r_4 \cos \varphi \Rightarrow \tan \theta = \frac{r_4 \sin \varphi}{d - r_4 \cos \varphi}$$

$$0 = r_4 \sin \varphi - (L_3 - \mu) \sin \theta$$

B.1.14 loi entrée / sortie

$$\frac{r_1 \sin \alpha}{L_0 - d - r_1 \cos \alpha} = \frac{r_4 \sin \varphi}{d - r_4 \cos \varphi}$$


---

B.1.15 Valeurs particulières de  $\varphi$

$$\alpha = \frac{\pi}{2} \quad \frac{r_4 \sin \varphi_1}{d - r_4 \cos \varphi_1} = \frac{r_1}{L_0 - d}$$

$$\alpha = -\frac{\pi}{2} \quad \frac{r_4 \sin \varphi_2}{d - r_4 \cos \varphi_2} = -\frac{r_1}{L_0 - d}$$


---

B.1.16 Vitesse angulaire de (4) par rapport à (0)

La loi entrée sortie s'écrit :

$$(d - r_4 \cos \varphi) r_1 \sin \alpha = (L_0 - d - r_1 \cos \alpha) r_4 \sin \varphi$$

La dérivation donne :

$$r_1 \omega \cos \alpha (d - r_4 \cos \varphi) + r_1 r_4 \dot{\varphi} \sin \varphi \sin \alpha =$$

$$r_4 \dot{\varphi} \cos \varphi (L_0 - d - r_1 \cos \alpha) + r_1 r_4 \omega \sin \alpha \sin \varphi$$

$$\text{à } \alpha = \frac{\pi}{2} \text{ on a } \varphi = \varphi_1 \text{ et } \dot{\varphi} = \dot{\varphi}_1$$

$$\text{avec } \dot{\varphi}_1 = \frac{r_1 \omega \sin \varphi_1}{r_1 \sin \varphi_1 - (L_0 - d) \cos \varphi_1}$$

$$\text{à } \alpha = -\pi/2 \quad \varphi = \varphi_2 \text{ et } \dot{\varphi} = \dot{\varphi}_2 \text{ avec}$$

$$\dot{\varphi}_2 = \frac{r_1 \omega \sin \varphi_2}{r_1 \sin \varphi_2 + (L_0 - d) \cos \varphi_2}$$

## B.2 Etude du dispositif de tamisage

### B.2.1 Vitesses de P et Q

$$\vec{V}_{P \in 4/0} = \vec{V}_{D/0} + \vec{\omega}_{4/0} \wedge \vec{DP}$$

$$= \vec{0} + \dot{\varphi} \vec{z}_0 \wedge (-L_4 \vec{y}_4) = L_4 \dot{\varphi} \vec{x}_4$$

$$\vec{V}_{Q \in 9/0} = \vec{V}_{N/0} + \dot{\varphi} \vec{z}_0 \wedge (-L_4 \vec{y}_4) = L_4 \dot{\varphi} \vec{x}_4$$

### B.2.2 Vecteur rotation de la traverse.

P et Q ∈ 8

$$\vec{V}_{P \in 4/0} = \vec{V}_{P \in 8/0} \quad \text{et} \quad \vec{V}_{Q \in 9/0} = \vec{V}_{Q \in 8/0}$$

on montre que  $\vec{V}_{P \in 8/0} = \vec{V}_{Q \in 8/0}$

(8) décrit une translation circulaire  $\Rightarrow \vec{\omega}_{8/0} = \vec{0}$

### B.2.3 Energie cinétique

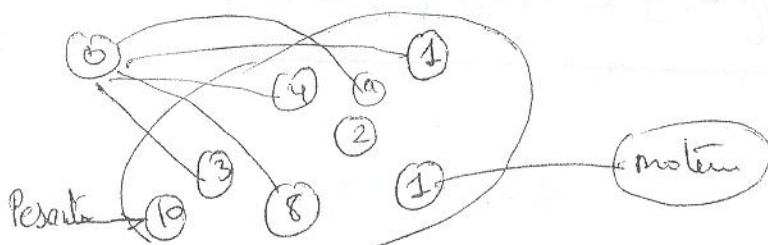
$$E_c(S/0) = \frac{1}{2} M \vec{V}_{G/0}^2$$

$$\vec{V}_{G/0} = \left. \frac{d \vec{DG}}{dt} \right|_{R_0} = \left. \frac{d \vec{DP}}{dt} \right|_{R_0} + \left. \frac{d \vec{PG}}{dt} \right|_{R_0}$$

$$= L_4 \dot{\varphi} \vec{x}_4 + \dot{\eta} \vec{x}_0$$

$$E_c(S/0) = \frac{1}{2} M \left[ L_4^2 \dot{\varphi}^2 + \dot{\eta}^2 + 2 L_4 \dot{\varphi} \dot{\eta} \cos \varphi \right]$$

### B.2.4 Inventaire des actions appliquées à (S)



$$\overline{S} = \{ \text{moteur} + \text{erre} + \text{bati} \}$$



(6)

$$\{T_{0 \rightarrow 1}\}_0 = \begin{Bmatrix} X_{01} \\ Y_{01} \\ Z_{01} \end{Bmatrix} \begin{Bmatrix} L_{01} \\ M_{01} \\ 0 \end{Bmatrix}$$

$$\{T_{0 \rightarrow 4}\}_0 = \begin{Bmatrix} X_{04} \\ Y_{04} \\ Z_{04} \end{Bmatrix} \begin{Bmatrix} L_{04} \\ M_{04} \\ 0 \end{Bmatrix}$$

$$\{T_{0 \rightarrow 3}\}_0 = \begin{Bmatrix} 0 \\ Y_{03} \\ Z_{03} \end{Bmatrix} \begin{Bmatrix} 0 \\ a_{03} \\ a_{03} \end{Bmatrix}$$

$$\{T_{0 \rightarrow 9}\}_0 = \begin{Bmatrix} X_{09} \\ Y_{09} \\ Z_{09} \end{Bmatrix} \begin{Bmatrix} L_{09} \\ M_{09} \\ 0 \end{Bmatrix}$$

$$\{T_{\text{terre} \rightarrow 10}\}_G = \begin{Bmatrix} 0 \\ -Mg \\ 0 \end{Bmatrix} \begin{Bmatrix} 0 \\ 0 \\ 0 \end{Bmatrix}$$

$$\{T_{\text{mot} \rightarrow 1}\}_0 = \begin{Bmatrix} 0 \\ 0 \\ 0 \end{Bmatrix} \begin{Bmatrix} 0 \\ 0 \\ 0 \end{Bmatrix}$$

B.2.5 : Puissances des actions

$$\bullet \mathcal{P}(\text{moteur} \rightarrow 1) = C_m \ddot{\alpha} = C_m \omega$$

$$\bullet \mathcal{P}(\text{terre} \rightarrow 10) = \vec{P}_{10} \cdot \vec{V}_{G/0}$$

$$= -Mg \vec{Y}_0 \cdot (L_4 \vec{g} \vec{x}_u + \vec{z} \vec{x}_0)$$

$$= -Mg L_4 \ddot{\varphi} \sin \varphi$$

$$\bullet \mathcal{P}_{\text{int}} = 0 \quad (\text{liaison parfaite})$$

B.2.6 Théorème de l'énergie cinétique

$$\frac{dE_c(S/0)}{dt} = C_m \ddot{\alpha} - Mg L_4 \ddot{\varphi} \sin \varphi$$

$$\frac{dE_c(S/0)}{dt} = M L_4^2 \ddot{\varphi} \ddot{\varphi} + M \ddot{\eta} \ddot{\eta} + M L_4 \ddot{\varphi} \ddot{\eta} \cos \varphi + M L_4 \ddot{\varphi} \ddot{\eta} \cos \varphi - M L_4 \ddot{\varphi}^2 \ddot{\eta} \sin \varphi$$

B.2.7 Cas ou (10) est immobile % a(8)

(7)

$$\eta = ct, \quad \dot{\eta} = 0, \quad \ddot{\eta} = 0$$

$$ML_4^2 \ddot{\varphi} \ddot{\varphi} = C_m \omega - M_g L_4 \ddot{\varphi} \sin \varphi$$

---

B.2.7 Cas ou 10 se translate avec  $\dot{\eta} = V_0$

$$\ddot{\eta} = 0; \quad \ddot{\eta} = 0$$

$$ML_4^2 \ddot{\varphi} \ddot{\varphi} + ML_4 \ddot{\varphi} V_0 \cos \varphi - ML_4 \ddot{\varphi}^2 V_0 \sin \varphi =$$
$$C_m \omega - M_g L_4 \ddot{\varphi} \sin \varphi$$

---

B.2.8 Couple moteur  $\alpha = \frac{\pi}{2}$

• Calcul de l'accélération  $\ddot{\varphi}$  par dérivation de la relation obtenue à B.1.16

$$-r_1 \omega^2 \sin \alpha (d - r_4 \cos \varphi) + r_1 r_4 \omega \dot{\varphi} \cos \alpha \sin \varphi + r_1 r_4 \ddot{\varphi} \sin \varphi \sin \alpha +$$
$$r_1 r_4 \dot{\varphi}^2 \cos \varphi \sin \alpha + r_1 r_4 \ddot{\varphi} \omega \sin \varphi \cos \alpha = r_4 \ddot{\varphi} \cos \varphi (L_0 - d - r_1 \cos \alpha) -$$
$$r_4 \dot{\varphi}^2 \sin \varphi (L_0 - d - r_1 \cos \alpha) + r_1 r_4 \omega \dot{\varphi} \cos \varphi \sin \alpha +$$
$$r_1 r_4 \omega^2 \cos \alpha \sin \varphi + r_1 r_4 \omega \dot{\varphi} \sin \alpha \cos \varphi$$

Pour  $\alpha = \frac{\pi}{2}$  on obtient  $\varphi = \varphi_1$ ;  $\ddot{\varphi} = \ddot{\varphi}_1$  et la relation devient:

$$-r_1 \omega^2 (d - r_4 \cos \varphi_1) + r_1 r_4 \ddot{\varphi}_1 \sin \varphi_1 + r_1 r_4 \dot{\varphi}_1^2 \cos \varphi_1 =$$
$$r_4 (L_0 - d) \ddot{\varphi}_1 \cos \varphi_1 - r_4 (L_0 - d) \dot{\varphi}_1^2 \sin \varphi_1 + 2 r_1 r_4 \dot{\varphi}_1 \omega \cos \varphi_1$$

1) tout calcul fait on obtient:

$$\ddot{\varphi}_1 = \frac{r_1 r_4 \ddot{\varphi}_1 (2\omega - \dot{\varphi}_1) \cos \varphi_1 + r_1 \omega^2 (d - r_4 \cos \varphi_1) - r_4 (L_0 - d) \ddot{\varphi}_1^2 \sin \varphi_1}{r_4 [r_1 \sin \varphi_1 - (L_0 - d) \cos \varphi_1]}$$

on peut la mettre sous la forme:

$$\ddot{\varphi} = \frac{\ddot{\varphi}_1^2 (2\omega - \dot{\varphi}_1) \cot \varphi_1}{\omega} + \frac{\omega \dot{\varphi}_1 (d - r_4 \cos \varphi_1) - (L_0 - d) \ddot{\varphi}_1^3}{r_1 \omega}$$


---

Expression du Couple:

Cas I :  $C_m = M L_4 r_1 \frac{\sin \varphi_1}{r_1 \sin \varphi_1 - (L_0 - d) \cos \varphi_1} \cdot (L_4 \ddot{\varphi}_1 + g \sin \varphi_1)$

Cas II :  $C_m = M L_4 r_1 (L_4 \ddot{\varphi}_1 + g \sin \varphi_1) \cdot \frac{\sin \varphi_1}{r_1 \sin \varphi_1 - (L_0 - d) \cos \varphi_1} +$

$$\frac{M L_4 V_0}{\omega} \left[ \ddot{\varphi} \cos \varphi_1 - \frac{r_1^2 \sin^3 \varphi_1}{(r_1 \sin \varphi_1 - (L_0 - d) \cos \varphi_1)^2} \right]$$

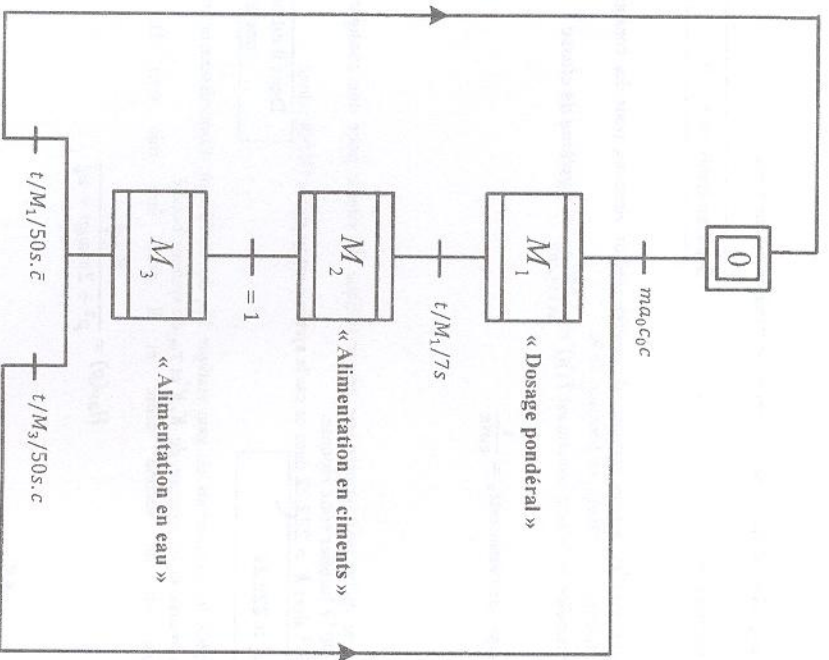
Pour déterminer  $C_m$  on remplace  $\ddot{\varphi}$  par son expression.



## PARTIE D : AUTOMATIQUE

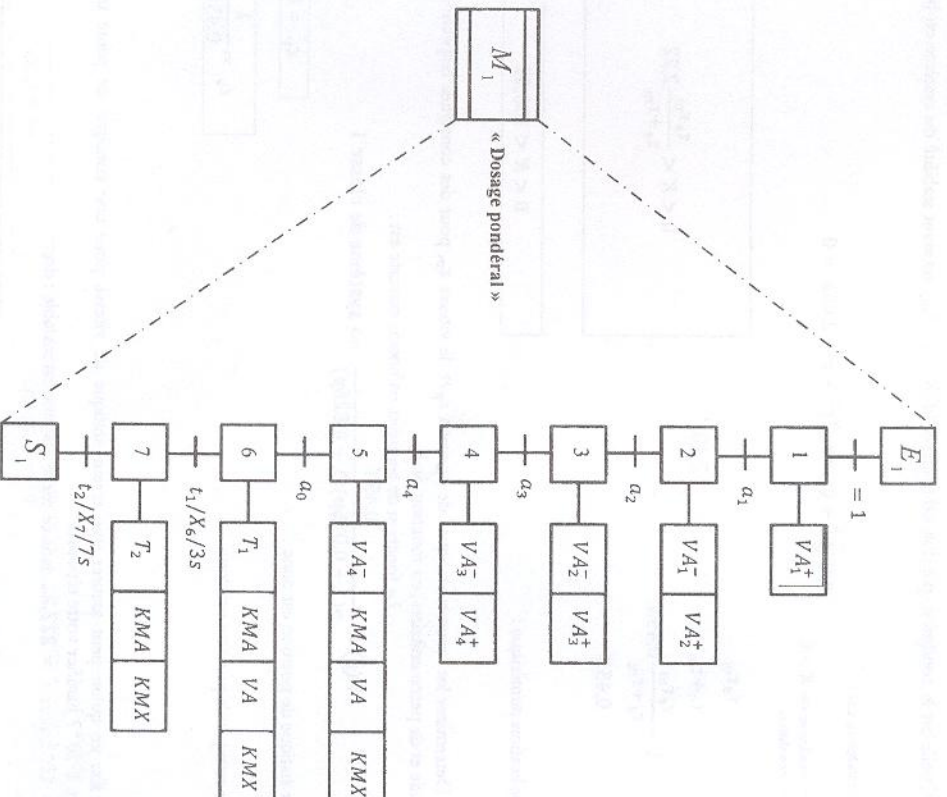
### D.1 - Commande séquentielle d'une centrale à béton

D.1.1- Compléter le Grafcet suivant, décrivant le fonctionnement de la centrale à béton.



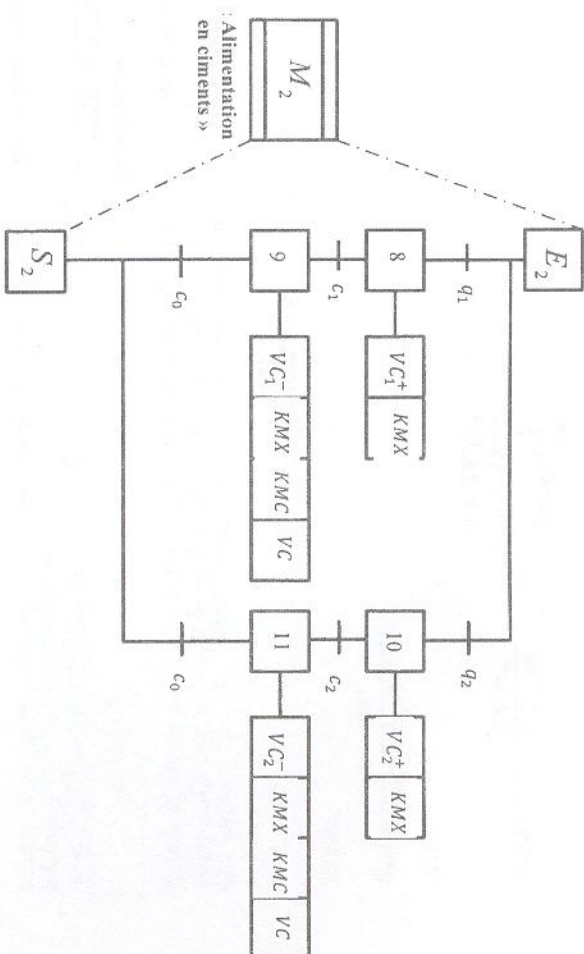
Grafcet du point de vue commande décrivant le fonctionnement de la centrale à béton.

D.1.2- Compléter l'expansion de la macro-étape M<sub>1</sub> « Dosage pondéral » dont la structure est donnée par le modèle suivant :



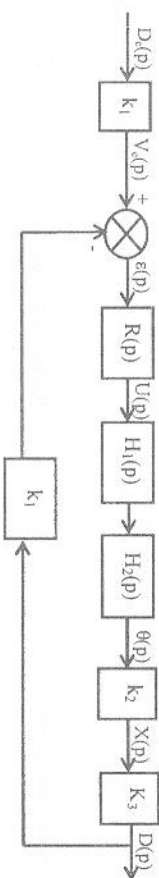
Expansion de la macro-étape M<sub>1</sub> « Dosage pondéral »

D1.3- Compléter l'expansion de la macro-étape  $M_2$  « Alimentation en ciment » dont la structure est donnée par le modèle suivant :



Expansion de la macro-étape  $M_2$  « Alimentation en ciment »

D2.1- Etablir le schéma fonctionnel du système asservi



D2.2- Déterminer les fonctions de transfert  $H_1(p)$  et  $H_2(p)$   
La fonction  $H_1(p)$  est de la forme  $\frac{K}{1+\tau p}$

- $20 \log(K) \cong -3,125 \text{ dB} \Rightarrow K = 0,7$
- La pulsation de coupure est  $\omega_c \cong 70 \text{ rad/s} \Rightarrow \tau = \frac{1}{\omega_c} = 0,015 \text{ s}$  d'où

$$H_1(p) = \frac{0,7}{1 + 0,015p}$$

La fonction  $H_2(p)$  est la transformée de Laplace de  $\theta(t) = 1 - e^{-\frac{t}{\tau_m}}$  ; d'où  $H_2(p) = \frac{1}{p} - \frac{1}{p + \frac{1}{\tau_m}} = \frac{1}{p(1 + \tau_m p)}$  qui est la forme de la réponse indicielle unitaire d'un système de premier ordre de gain 1 et de constante de temps  $\tau_m$ . Sachant que  $0,63\theta(\infty) = \theta(\tau_m) \Rightarrow \tau_m = 0,826 \text{ s}$

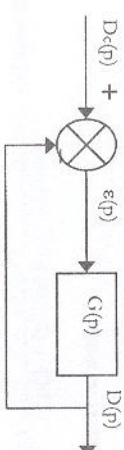
$$H_2(p) = \frac{1}{p(1 + 0,826p)}$$

D2.3- Mettre la fonction de transfert du motoréducteur sous la forme :

$$H(p) = \frac{\theta(p)}{U(p)} = \frac{K_m}{p(1 + \tau_p p)(1 + \tau_m p)}$$

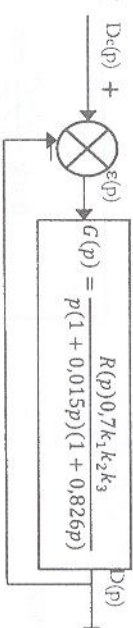
$$H(p) = H_1(p)H_2(p) = \frac{0,7}{(1 + 0,015p)p(1 + 0,826p)} \Rightarrow H(p) = \frac{0,7}{p(1 + 0,015p)(1 + 0,826p)}$$

D2.4- Simplifier le schéma fonctionnel de la question D2.1 en le mettant sous la forme suivante :



$$\text{Avec : } G(p) = \frac{R(p)K'}{p(1 + \tau_p p)(1 + \tau_m p)}$$

Le schéma de la figure D2.1, peut se mettre sous la forme suivante :



$$K' = 0,7k_1k_2k_3$$

En déduire la valeur de  $K'$  si :

$k_1 = 0,5 \text{ V/s/Kg}$  ;  $k_2 = 6 \cdot 10^3 \text{ m/rad}$  ;  $k_3 = 15 \cdot 10^{-3} \text{ Kg/ms}$  ;  $\tau_p = 0,015 \text{ s}$  et  $\tau_m = 0,8 \text{ s}$

$$K' = 31,5 \cdot 10^{-4}$$



Dans la suite, on choisira  $K' = 0.45$

D.2.5- Sachant que la fonction de transfert du régulateur est  $R(p) = K$  :

D.2.5.1- Quelle est la condition que doit satisfaire  $K = f(K', \tau_e, \tau_m)$  assurant stabilité du système en boucle fermée :

L'E.C. du système est :

$$\tau_e \tau_m p^3 + (\tau_e + \tau_m) p^2 + p + 0.45K = 0$$

- 1<sup>re</sup> condition  $\Rightarrow K > 0$
- 2<sup>ème</sup> condition :

$p^3$	$\tau_e \tau_m$	$1$	
$p^2$	$\tau_e + \tau_m$	$0.45K$	
$p^1$	$1 - \frac{\tau_e \tau_m}{\tau_e + \tau_m} 0.45K$		$0 < K < \frac{\tau_e \tau_m}{\tau_e + \tau_m} 2.22$
$p^0$	$0.45K$		

Faire l'application numérique :

$$0 < K < 150.92$$

D.2.5.2- Déterminer les erreurs statiques de position  $\varepsilon_p$  et de vitesse  $\varepsilon_v$  pour des consignes respectivement d'amplitude et de pente unitaires, en fonction de  $K$ .

La fonction de transfert en boucle ouverte est :

$$T(p) = \frac{0.45K}{p(1 + 0.015p)(1 + 0.826p)} \Rightarrow \text{système de classe 1}$$

L'erreur statique de position est donc

$$\varepsilon_p = 0$$

L'erreur statique de position est donc

$$\varepsilon_v = \frac{1}{0.45K}$$

D.2.5.3- Est ce qu'on peut assurer une erreur statique de vitesse pour une consigne de pente unitaire inférieure à  $10^{-2}$  ? Justifier votre réponse.

Si  $\varepsilon_v = 10^{-2}$  alors  $K = 222.22$  dans ce cas le système est instable ; donc

$$K > 150.92$$

Impossible d'assurer une telle erreur

D.2.6.- On considère toujours  $R(p) = K$  tout en négligeant l'effet d'cte (c-à-d :  $\tau_e = 0$ ).

D.2.6.1- Etablir l'expression de la fonction de transfert du système en boucle fermée  $H_{BF}(p)$  en fonction de  $K, K'$  et  $\tau_m$ .

$$H_{BF}(p) = \frac{KK'}{p(1 + \tau_m p) + KK'}$$

Faire l'application numérique :

$$H_{BF}(p) = \frac{0.45K}{0.8p^2 + p + 0.45K}$$

D.2.6.2- Pour quelles valeurs de  $K$ , le système est stable en boucle fermée

Système de second ordre :

$$\text{Système stable} \Leftrightarrow K > 0$$

D.2.6.3- Déterminer les erreurs statiques de position et de vitesse  $\varepsilon_v$  pour des consignes respectivement d'amplitude et de pente unitaires, en fonction de  $K$ .

Fonction de transfert en boucle ouverte est  $T(p) = \frac{KK'}{p(1 + \tau_m p)} \Rightarrow \text{système de classe 1}$

L'erreur statique de vitesse est  $\varepsilon_v = \frac{1}{0.45K}$

$$\varepsilon_p = 0$$

$$\varepsilon_v = \frac{1}{0.45K}$$

D.2.6.4- Est ce qu'on peut assurer une erreur statique de vitesse pour une consigne de pente unitaire inférieure à  $10^{-2}$  ? Justifier votre réponse.

Si  $\varepsilon_v < 10^{-2}$  alors  $K > 222.22$  dans ce cas le système est tj stable ( $K > 0$ ) ; donc

$$K > 222.22$$

Donc il est possible d'assurer une telle erreur

D.2.6.5- Etablir les expressions du gain statique  $K_s$ , du coefficient d'amortissement  $m$  et de la pulsation propre non amortie  $\omega_0$  en fonction de  $K, K'$  et  $\tau_m$  du système bouclé.

Le système est de second ordre et il peut être mis sous la forme classique :

$$H_{BF}(p) = \frac{K_s \omega_0^2}{p^2 + 2m\omega_0 p + \omega_0^2}$$

En effet,

$$H_{BF}(p) = \frac{KK'}{p(1 + \tau_m p) + KK'}$$

D'où :

$$H_{BF}(p) = \frac{KK' / \tau_m}{p^2 + \frac{1}{\tau_m} p + KK' / \tau_m} \Rightarrow \begin{cases} \omega_0^2 = KK' / \tau_m \\ K_s \omega_0^2 = KK' / \tau_m \\ 2m\omega_0 = \frac{1}{\tau_m} \end{cases}$$

donc

$$K_s = 1$$

$$\omega_0 = \sqrt{KK' / \tau_m}$$

$$m = 0.5 \sqrt{\frac{\tau_m}{KK'}}$$



D.2.6.6. Calculer la valeur de  $K$ , pour avoir une marge de phase de  $M_\phi = 45^\circ$ . En déduire le coefficient d'amortissement  $m$  et la pulsation propre non amortie  $\omega_0$ . Quelle est la marge de gain  $M_G$  du système ? La marge de phase est définie par :

$$M_\phi = \pi + \arg(T(j\omega_A)) \text{ avec } \omega_A \text{ est telle que } |T(j\omega_A)| = 1 \text{ sachant que } T(p) = \frac{0,45K}{p(1+0,8p)}$$

$$M_\phi = \pi + \arg(T(j\omega_A)) \Rightarrow \frac{\pi}{4} = \pi - \frac{\pi}{2} - \arctg(0,8\omega_A) \Rightarrow \arctg(0,8\omega_A) = \frac{\pi}{4} \Rightarrow \omega_A = 1,25 \text{ rd/s}$$

$$\text{Or } |T(j\omega_A)| = 1 = \frac{0,45K}{\omega_A \sqrt{1+0,64\omega_A^2}} \Rightarrow K = 3,92$$

$$K_s = 1$$

$$M_G = \infty$$

$$\omega_0 = 1,48 \text{ rd/s}$$

$$m = 0,33$$